专栏

# 联苯菊酯-β-环糊精包合物的制备及其光谱研究

胡奕俊, 徐 妍, 马 超, 薛其福, 吴学民\*1

(1.中国农业大学 理学院,北京 100193, 2.环保部环境工程评估中心,北京 100012)

摘 要:控制释放剂是农药制剂新的发展方向,为了开发对生态与环境有益,储运安全性高,药效好,节省溶剂的高效拟除虫菊酯的控制释放制剂,研究了 β-环糊精(β-CD)对联苯菊酯的包合作用。采用液相法制备了联苯菊酯-β-CD 包合物,并通过紫外光谱(UV)、差示扫描量热分析(DSC)、红外光谱(R)及核磁共振( $^{1}$ H NMR)等分析方法对其结构进行了表征。通过 UV 和 DSC 确定了包合物的形成,用等物质的量连续变化法确定了包合物中联苯菊酯与β-CD 最大包合比为 1:1; 经 R和  $^{1}$ H NMR分析推测: 联苯菊酯-β-CD 包合物是一种靠疏水作用和分子间作用力结合的超分子结构,包合过程未产生新化学键,包合作用对联苯菊酯的结构未产生影响,包合物是由联苯菊酯的苯环端从β-CD 的较大端进入β-CD 的空腔而形成的。

关键词: 联苯菊酯; β-环糊精; 包合物 DOI 10 3969/j isn 1008-7303 2010 03 16

中图分类号: TQ 450, O 657. 3 文献标志码: A 文章编号: 1008-7303(2010) 03-0324-05

# Preparation and properties of an inclusion compound of $\beta$ -cyclodextrin with bifenthrin

HU Y ÷ jun<sup>1</sup>, XU Y an<sup>1</sup>, MA Chao<sup>1</sup>, XUE Q i-fu<sup>2</sup>, WU X ue-m in<sup>\* 1</sup>
(1 College of Science, China Agricultural University, Beijing 100193 China;
2 The State Environmental Protection Division Assessment Center, Beijing 100012 China)

Abstract In order to develop new sustained and controlled release formulation, an inclusion compound of  $\beta$ -cyclodex trin with bifenthrin was prepared by means of liquid phase method, and characterized by UV, differential scanning cabrin etry analysis (DSC), R and H NMR. UV and DSC proved that the inclusion compound has been produced. The host/guest ratio of inclusion compound between the  $\beta$ -CD and bifenthrin is 1:1 determined by Job's continuous variation method. The structure of the inclusion compound was characterized with IR and H NMR spectrum. The results indicated that the association of the guest molecule with  $\beta$ -CD was favored by V an Der W aals force, hydrophobic interaction and hydrogen bonds, etc. It's proposed that the benzyl rings of bifenthrin enter into the cavity of  $\beta$ -CD through the wider rin, but the other residues of the molecule are not included

Key words bifenthrin β-cyclodex trin, inclusion com pound

收稿日期: 2010-03-02, 修回日期: 2010-05-12

环糊精 (CD) 是由至少 6个葡萄糖单元通过 1. 4糖苷键连接而成的筒状分子, 常见的有  $\alpha$ -CD. β-CD 和 X-CD. 分别由 6.7.8个葡萄糖单元连接构 成, 其中以 β-CD 的应用最广泛。每个环糊精分子 都有一个环状疏水空腔, 具有内亲油, 外亲水的性 质 可以选择性地结合多种有机分子 形成主客体 包合物,因而具有识别作用[1-3]。在包合物中,进入 β-CD 空腔内的分子得到保护, 表现出分子稳定性提 高、挥发性下降, 并具有缓释、增溶等特点。 控制释 放剂已是农药制剂研究的新方向。农药分子与环糊 精形成包含物后,可以借助其缓释、增溶的特点提高 农药分子的持效期和在水中的溶解度 同时也可以 明显改善其理化性质,如提高其生物利用率,增加抗 光解性及稳定性,降低农药对环境造成的污染 等<sup>[46]</sup>。

图 1 为联苯菊酯的结构式, 其具有触杀及胃毒 作用。由于联苯菊酯具有广谱、高效、低残留和对人 体毒性较小等优点,已被广泛用于农作物害虫和家 庭白蚁、羊毛蛀虫等的防治、同时也是防治茶园害虫 的首选药剂。由于联苯菊酯水溶性差, 其主要剂型 一直是以芳烃类有机溶剂为溶剂的乳油, 亟待开发 其水性化制剂与控制释放剂。笔者采用液相法研究 了 β-环糊精 (β-CD)对联苯菊酯的包合作用, 并对其 包合物的结构进行了表征,现将结果报道如下。

$$F_3C - \underset{Cl}{C = C} = \underset{H_3C}{\overset{O}{\underset{C - OCH_2}{\parallel}}} C - OCH_2$$

图 1 联苯菊酯结构式

Fig. 1 The structure of bifen thrin

## 1 材料与方法

#### 1.1 主要试剂和仪器

联苯菊酯 (bifenthrin), 工业级, 陕西西大华特 科技实业公司产品,用乙醇重结晶后纯度大于 98%; β-CD 为生化试剂, 纯度大于 99%, 武汉远城 科技发展有限公司产品, 用热水重结晶 2次后真空 干燥保存: 其余试剂均为分析纯。

UV-2450型日本岛津紫外-可见光分光光度计: Magna-R750型傅立叶变换红外光谱仪; Dupont 1090B 型热分析仪: Bruker Avance DPX 300核磁共

#### 1.2 固体包含物的制备

采用液相法<sup>[7-10]</sup>制备联苯菊酯-β-CD 包合物。 称取 5 g联苯菊酯干 50 mL 烧杯中. 用 10 mL 丙酮 溶解: 另用 50 ℃蒸馏水配制 100 mL β-CD 饱和溶 液。将联苯菊酯溶液缓慢滴入 β-CD 饱和溶液中。 室温下搅拌 4 h后抽滤、滤饼经乙醇及 50 ℃蒸馏 水多次洗涤, 干燥至恒重, 得到白色疏松状包含物粉 末。

# 1.3 包合物的表征

1.3.1 紫外吸收光谱(UV) 分别配制浓度为 1×  $10^{-4}$  m ol/L的联苯菊酯乙醇溶液和  $\beta$ -CD 水溶液. 准确移取 5 mL 联苯菊酯乙醇溶液干 50 mL 容量斯 中. 按照 β-CD 与联苯菊酯物质的量之比为 0:1 0 2:1 0.4:1 0.6:1 0.8:1 1:1 1 2:1 1 5:1 2:1 的 比例分别加入对应的 β-CD 水溶液 以水定容 摇 匀, 室温下静置 24 h. 分别测定其紫外吸收光谱。为 了进一步证实包合物中联苯菊酯与 β-CD 的包合 比. 采用等物质的量连续变化法[1]进行了研究。测 量时固定 β-CD 与联苯菊酯的总物质的量不变  $[n_{(K \times M)}] + n_{(\beta - CD)} = 2 \times 10^{-5} \, \text{mol/L}$ ], 通过连续改 变主、客体组份的比例,测定各组混合液的紫外吸收 强度与相同条件下联苯菊酯自身吸收强度的差值  $\Delta A$ , 以  $\Delta A$  对  $n_{(K \times \hat{q} \cdot \hat{q} \cdot \hat{q})} / [n_{(K \times \hat{q} \cdot \hat{q} \cdot \hat{q})} + n_{(\beta \in D)}]$ 作图, 得 到联苯菊酯-β-CD 包合物的化学计量比。

1.3.2 红外光谱(IR) 用 KBr分别将联苯菊酯、 β-CD 及 β-CD 与联苯菊酯的物理混合物和包合物 压片, 在 500~4 000 cm<sup>-1</sup>处进行 R 测定。

1.3.3 差示扫描量热分析(DSC) 分别对联苯菊 酯、B-CD 及 B-CD 与联苯菊酯的物理混合物和包合 物进行 DSC测定. 升温速率为 10 ℃ /m in 扫描范围 为 50~ 400 ℃, 测定气体为氮气。

1.3.4 核磁共振谱(<sup>1</sup>H NM R) 以 CDC l, 作溶剂, 分别测定  $\beta$ -CD, 联苯菊酯及其包合物的  $^{1}$ H NMR 图. 并对主要峰的位移值进行比较。

# 2 结果与讨论

#### 2 1 UV分析

图 2是一系列物质的量之比 (计量比)下 🕰 CD 联苯菊酯的紫外光谱图。可以发现: 当联苯菊 酯溶液中未加入 β-CD 时, 其在波长 219.60 nm 下 有最大吸收: 但在联苯菊酯中加入 β-CD 后, 其最大 吸收波长发生蓝移, 变成 211, 60 m, 且随着 β-CD 的加入,其紫外吸收强度呈规律性地上升。紫外吸 振波谱仪。2012 China Academic Journal Electronic Publishing House, All rights reserved. http://www.chki.ne

β-CD 的加入而发生了变化,即由联苯菊酯的极性环境进入到了环糊精疏水空腔的非极性环境中而形成了包合物。当物质的量之比大于 1时,吸光度趋于稳定,推测当联苯菊酯 /β-CD 的计量比为 1:1时,包含作用达到最大化。

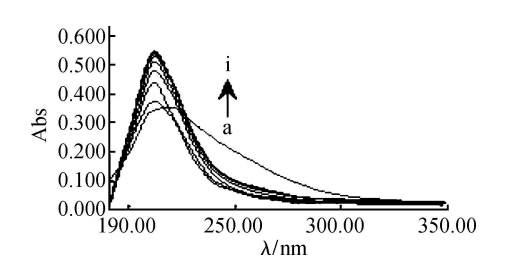


图 2 β-CD 联苯菊酯系列计量比的紫外吸收光谱图 Fig 2 UV absorption spectrum of various β-CD/bifen hrin n<sub>B-CD</sub>:n<sub>hifenbrin</sub>: a 0: l, h, 0: 2: l; c, 0: 4: l, d, 0: 6: l; e 0: 8: l;

n<sub>B-CD</sub>:n<sub>bifenthrin</sub>: a, 0: t, b, 0 2 t; c, 0 4: t, d, 0 6 t; e, 0 8
f, 1: t, g, 1 2 t; h, 1, 5 t, i 2 t<sub>0</sub>

等物质的量连续变化法也称为 Job' s连续变化 法 ( Job' s continuous variation m ethod), 是确定超分子中主-客体化学计量比的常用方法。由  $\beta$ -CD 联苯菊酯包合物体系的连续变化物质的量之比的曲线 (如图 3)可以看出: 该曲线中  $\Delta$ A 的最大值所对应的计量比为 1, 证明了  $\beta$ -CD 与联苯菊酯是形成了计量比为 1:1型的包合物。这与图 2中当联苯菊酯 /  $\beta$ -CD 的计量比为 1:1 时吸光度趋向稳定的现象相符合。

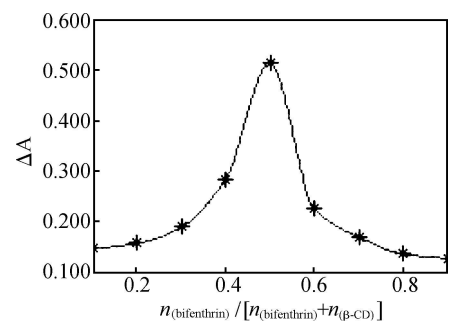


图 3 β-CD / 联苯菊酯包合物体系的连续变化 紫外吸收差值曲线

Fig. 3 Job's plot for β-CD / bifenthrin system

#### 2 2 IR 分析

图 4给出了联苯菊酯、β-CD、β-CD 与联苯菊酯物理混合物和联苯菊酯-β-CD 的包合物的红外光谱图。理论上讲,若联苯菊酯和β-CD 形成包合物,在限谱图中,就不应是这两种物质谱图的简单叠加。由图 4b可以看出:在 1 750 cm<sup>-1</sup>附近有明显吸收峰,可以判断此为饱和酯的、C=O 伸缩振动;在

1500~1400 m<sup>-1</sup>有明显吸收峰,可以判断此为芳 烃的 C = C 伸缩振动: 在 1690~ 1660 m <sup>-1</sup>有明显 吸收峰,可以判断此为烯烃的 C=C伸缩振动。在 物理混合的图 4c中, 虽然有  $\beta$ -CD 的干扰, 但还是 能清楚地分辨 出 1 750 cm<sup>-1</sup>的 C = 0 伸缩振动.  $1.500 \sim 1.400 \text{ cm}^{-1}$ 的芳烃的 C = C 伸缩振动及在  $1.690 \sim 1.660 \text{ cm}^{-1}$ 的烯烃的 C = C 伸缩振动。在 包合物的图 4d中. 处于  $1.500 \sim 1.400 \text{ cm}^{-1}$ 的芳烃 的 C = C 伸缩振动峰的峰形明显变宽, 吸收变弱, H = 0 伸缩振动与烯烃 C = C 的伸缩振动却未 发生变化, 说明联苯菊酯中的苯环端进入了 β-CD 的空腔内, 使得芳烃的 C = C 伸缩振动峰峰形变 宽、吸收变弱、加上 β-CD 的影响、使得包合物中 1500~ 1 400 m 10 m 看似消失了: 而分子中的 - COO - 和 C = C 基团未进入腔内, 所以 C = O伸缩振动在  $1.750 \text{ cm}^{-1}$ 吸收和 C = C伸缩振动在 1690~ 1650cm<sup>-1</sup>的吸收未受影响。但受空间结构 影响、吸收有所减弱。

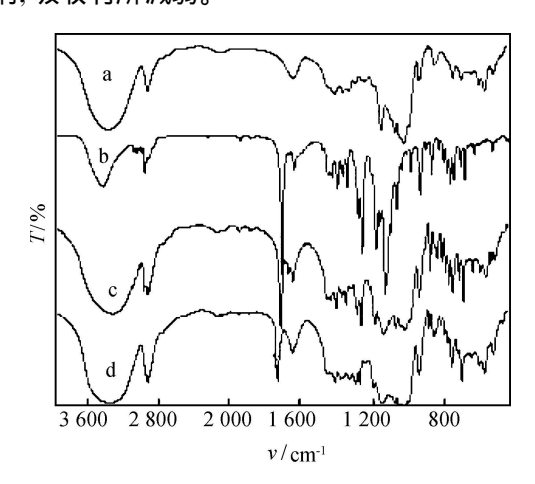


图 4  $\beta$ -CD、联苯菊酯、 $\beta$ -CD 与联苯菊酯物理混合物 及联苯菊酯与  $\beta$ -CD 包合物的红外图谱

Fig 4 IR spectrum of β-CD, bifen hrin, β-CD /bifen thrin physical mixture and bifen thrin-β-CD inclusion compound a β-CD; b 联苯菊酯; α β-CD / 联苯菊酯物理混合物; d 联苯菊酯 β-CD 包合物。

a β–CD; bx bifen thrin, α β–CD/bifen thrin physical mixture, d bifen thrin–β–CD in clusion compound.

#### 2 3 DSC分析

热分析是鉴别包合物形成与否的重要手段。通过 D SC 图 (图 5)可以发现: 在曲线 a中,100~150 ℃之间有一吸热峰, 这是由于 β-CD 有 11个结晶水 $^{[2]}$ , 其中笼内 6个, 笼外 5个, 笼外的 5个结晶水通过恒温干燥处理即可脱去, 因此, β-CD 在

150 ℃之前的吸热峰是脱去 6个笼内结晶水的形成 吸热峰: 在 300 ℃左右的吸热峰是  $\beta$ -CD 的气化峰。 在曲线 b中. 69 ℃的吸收峰是联苯菊酯的熔点峰。 在 245 ℃的峰应是联苯菊酯的气化峰<sup>[2]</sup>。在曲线 c 中,可以明显地看到 70 ℃ 联苯菊酯的熔点峰. 145 ℃ β-CD脱去笼内结晶水的吸热峰和 250 ℃左 右的气化峰。而在曲线 d中, 脱去笼内结晶水的吸 收峰都已消失,说明笼内的结晶水已经被取代:联苯 菊酯的熔点吸收峰变弱,只有一个小的吸收峰,这很 好地说明联苯菊酯的一些分子部位取代了  $\beta$ -CD 的

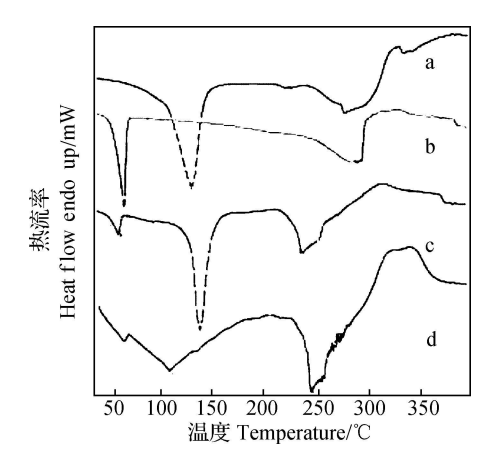


图 5  $\beta$ -CD、联苯菊酯、 $\beta$ -CD 与联苯菊酯物理混合物 及包含物的 DSC图

Fig. 5 DSC therm ograms of  $\beta$ -CD, bifenthrin, β-CD /bifen thrin physical m ixture and bifenthrin-β-CD inclusion compound a β-CD; b: 联苯菊酯; c β-CD 与联苯菊酯物理混合物; d 联苯菊酯与 β-CD 包合物。

a β-CD; b bifen thrin; c β-CD /bifenthrin physical mixture, d: bifen th rin-β-CD inclusion compound

笼内结晶水, 形成了新的晶体, 产生了新的热吸收 特征。

#### 2.4 NMR 分析

β-CD. 联苯菊酯及其包含物的主要  $^{1}$ H NM R 数 据对比见表 1。在  $\beta$ -CD 的  $^{1}$ H NM R 图谱中. 4 82 (7H, d)为单位葡萄糖 C, 位上的氢, 3 63(7H, t)是 C. 位上的氢、3 38~ 3 27(14H, m)是 C. 和 C4上的 氢, 而 3 54~ 3 40(2 H, m)是 C<sub>5</sub> 和 C<sub>6</sub>位上的氢。 对于联苯菊酯, 7, 42~7, 24(8H, m)为 2个苯环上 的 8个氢; 2 22(3H, s)为苯环上甲基上的 3个氢。 通过对比发现, 包合物图谱上有 β-CD 和联苯菊酯 的综合表现,但有细微不同。根据 Corev-Pauling-Kolun 分子模型[7-8]. 从原子的范德华半径外缘 算起、β-CD 疏水腔内 C3和 C5环的直径分别为 0 60 nm和 0 64 nm, 而联苯菊酯苯环端的分子宽度 约为  $0.4 \sim 0.5$  m. 显然  $\beta$ -CD 的疏水腔可以允许苯 环端讲入其中。由于受到芳环的环流引起的各向异 性效应、客体对质子的范德华作用以及客体的立体 微扰因素的影响[8], 其化学位移会向高场或低场发 生迁移, 而环外质子则不受影响。因此, 进入空腔的 苯环端质子的化学位移出现了较大的变化: 苯环上 的 8个氢向高场移动, 而苯环上甲基 3个氢的化学 位移向低场移动: 在 β-CD 上, C3 与 C5 的氢由于在 空腔内部,化学位移也发生了改变。而处于空腔外 部的 C<sub>1</sub>, C<sub>2</sub>及 C<sub>4</sub>上的氢及未进入空腔内部的联苯 分子上的氢化学位移均未发生显著变化。而且,由 于 C<sub>3</sub> 的化学位移偏差大于 C<sub>5</sub> 的, 推断苯环结构是 从 β-CD 的较大开口端进入空腔的 [1]。 化合物上质 子的比例也证明了 β-CD 和联苯菊酯是以 1:1包合 的结论。

表 1  $\beta$ -CD、联苯菊酯和联苯菊酯与  $\beta$ -CD 包合物的  $^1$ H NMR主要化学位移对比 Table 1 The main difference of the <sup>1</sup>H NMR be ween β-CD, bifen thrin and b if enth rin-β-CD in clusion compound

β <b>-环糊脒</b> β-CD	联苯菊酯 bilenthrin	联苯菊酯与 β-CD包合物 bifen thrin-β-CD	Δδ
4. 82(7H, d)		4 82(7H, d)	-
3 63(7H, t)		3 49 (7H, t)	- 0 14
3. 54~ 3 40(21H, m)		3 50~ 3 32 (7H, m)	- 0 08
3. 38 ~ 3 27(14H, m)		3 38~ 3 27 (14H, m)	_
	2 22(3H, s)	2. 52(3H, s)	+ 0 3

这一现象也可以通过考察环糊精的结构及包合 原理来解释。环糊精分子具有环状结构及非极性的

疏水性内腔, 因此可以容纳非极性分子或具有非极 <mark>|及非极性的 性基团的分子。在环糊精与联苯菊酯的包合物中,</mark> Electronic Publishing House. All rights reserved. http://www.cnki.net 联苯菊酯非极性的烃基链处于内腔中, 极性的羧基则露在外面<sup>[11-13]</sup>。因此, 环糊精主分子和药物客分子进行包合时, 并未发生化学反应, 也不存在离子键、共价键或配位键的作用, 其包合作用主要是一种物理过程, 分子大小适中的客体药物分子在外力作用下进入主体分子空腔内, 通过分子间范德华力和Allinger构象能量使之形成稳定的包合物, 药物被包含之后应具有明显的缓释作用。

根据上述分析,推测联苯菊酯-β-CD 环糊精包合物的分子结构如图 6所示。

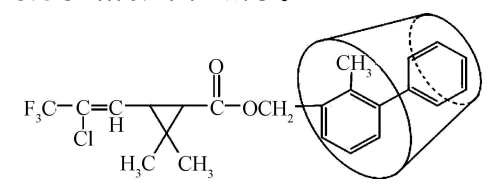


图 6 联苯菊酯-β-CD 环糊精包合物的推测分子结构 Fig 6 The structure of the bifenthrin-β-CD inclusion complex

## 3 结论

- (1)用液相法制备了联苯菊酯-β-CD 环糊精包合物, 通过等物质的量连续变化法确定了联苯菊酯与 β-CD 形成了最大计量比为 1:1的包合物。
- (2)通过紫外光谱法、差示扫描量热法、红外光谱法及核磁共振法等分析方法对其进行了表征发现包合物是联苯菊酯的苯环端从β-CD的较大端进入β-CD的空腔而形成的。

# 谨以此文敬贺钱传范教授八十华诞!

# 参考文献:

- [1] DENG Shu-hai (邓树海). Modem Technique of Drug Preparation(现代药物制剂技术) [M]. Beijing (北京): Chemical Industry Press(化学工业出版社), 2005
- [2] WUKegang (吴克刚), CHAIX iang-hua (柴向华). Food Microen cap sulation (食品微胶囊技术) [M]. Beijing (北京): China Light Industry Press(中国轻工业出版社), 2006.

- [3] TONG Lin-hui(童林荟). Cyclodextrin Chemistry: Foundation and Application (环糊精化学:基础与应用) [M]. Beijing(北京): Science Press(科学出版社), 2001
- [4] HAPIOT F, TILLOY S, MONFLIER E. Cyclodextrins as supramolecular hosts for organom etallic complexes [J]. Chem Rev. 2006 106 (3): 767 – 781
- [5] EERGONZIM C, BLLA A R, BARIL D, et al. Studies on the interactions between some flavonols and cyclodex trins[J]. Bioorg Med Chem Lett. 2007, 17: 5744-5748.
- [6] X IAO Y u-mei(肖玉梅), WANG Jian(王健), LIU Ji-ping(刘吉平), et al β-环糊精对丁吡吗啉的包合作用 [J]. Chem J Chinese Univ (高等学校化学学报), 2009, 30(4): 720-723.
- [7] YN Kai-liang(殷开梁), LU Jia-geng(刘加庚), XU Duan-jun (徐端钧). 乌环糊精和甲酚包结体动态结构及平衡常数的 NMR研究[J]. Chinese J Inorg Chem (无机化学学报), 2000, 16(1): 147-150
- [8] VANETTEN R I, SABAST EN J F, CLOW ER G A, et al. A coeleration of phenyl ester cleavage by cycloanyloses a model for enzymatic specificity [J]. JACS, 1967, 89 (13): 3242-3253.
- [9] FENG Guang-zhu (冯光炷), LU K ui(卢奎), LI H e-ping (李和平). 紫外-可见光谱研究 β环糊精与 β胡萝卜素的包结作用 [J]. Spectroscopy and Spectra l Ana lysis (光谱学与光谱分析), 2004, 24(19): 1099-1102
- [10] XEW en-lei(谢文磊), XUW eihe(徐卫河), FENG Guang-Zhu(冯光炷). 紫外光谱法研究 β环糊精与卵磷脂的包结作用[J]. Spectroscopy and Spectral Analysis (光谱学与光谱分析), 2001–21(5): 707-709.
- [11] SADDYSRL, NEOLASY, PAUL Jetal The structure of the first supramolecular α-cyclodextrin complex with an aliphatic monofunctional carboxylic acid[J]. Eur JOrg Chem., 2007, 26 4298 – 4300
- [12] HE Hua(何华), TANG Y ao(汤瑶), SUN Cheng(孙成), et al 光谱法及热动力学法研究环糊精与三氟氯氰菊酯的包合作用 [J]. Acta Chin ical Sinica (化学学报), 2006 64(2): 175 – 181
- [13] ZHANG Y ÷m in(张毅民), LIX iao(李潇), SUN Cong-shan(孙聪善), et al 羟丙基-β-环糊精 格列吡嗪包结物的制备及其光谱研究 [J]. Spectroscopy and Spectral Analysis(光谱学与光谱分析), 2008–28(3): 711–714.

(责任编辑:金淑惠)